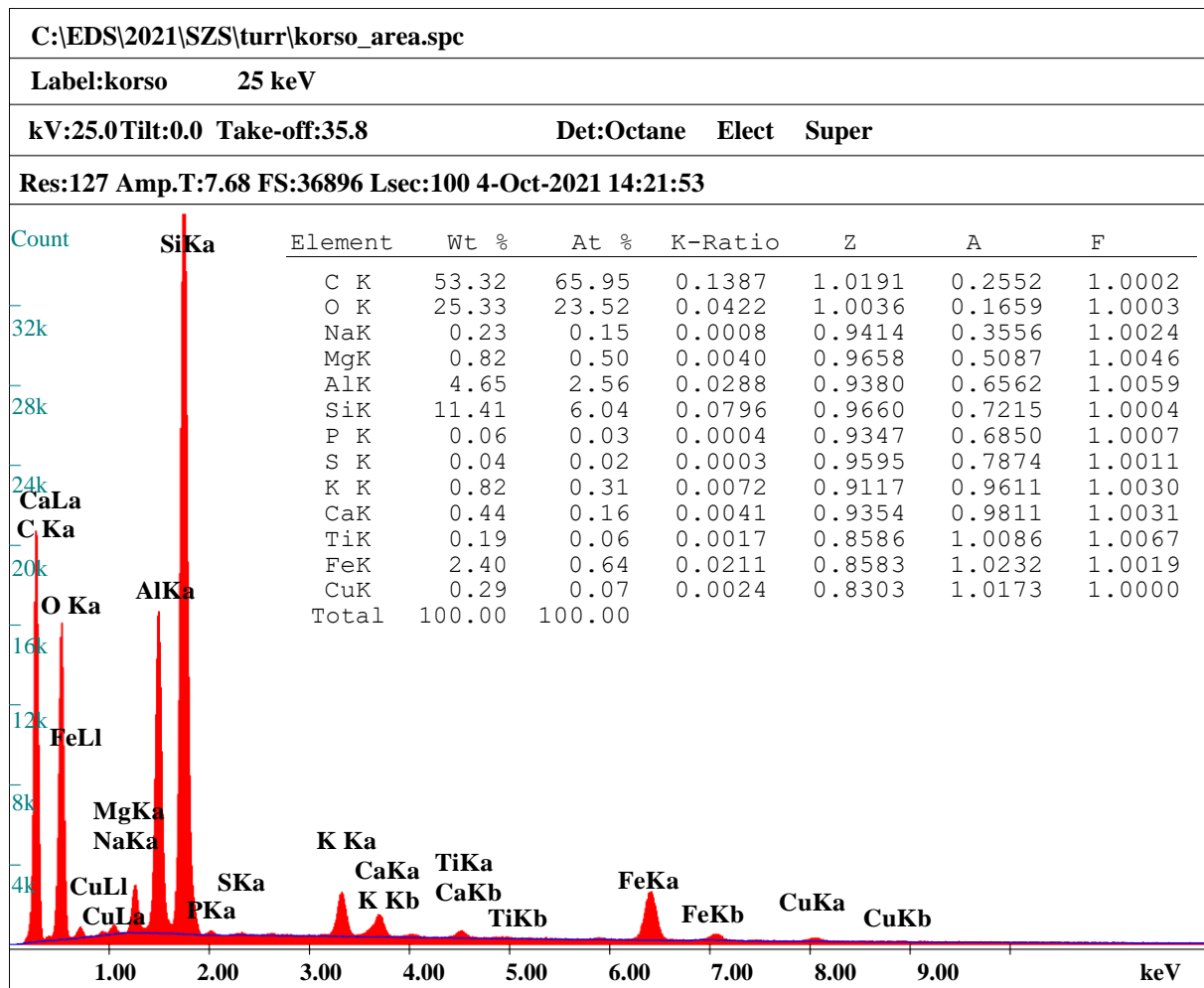


1. melléklet: Sükösd–Árpás-dűlő V. lelőhely 1. sír 45. edénymelléklete, egy kerámia bögre belsejéből vett minta energiadiszipatív röntgenspektruma és elemi összetétele (standard nélküli EDAX ZAF korrekció; Wt% tömegszázalék; At% atomszázalék)•

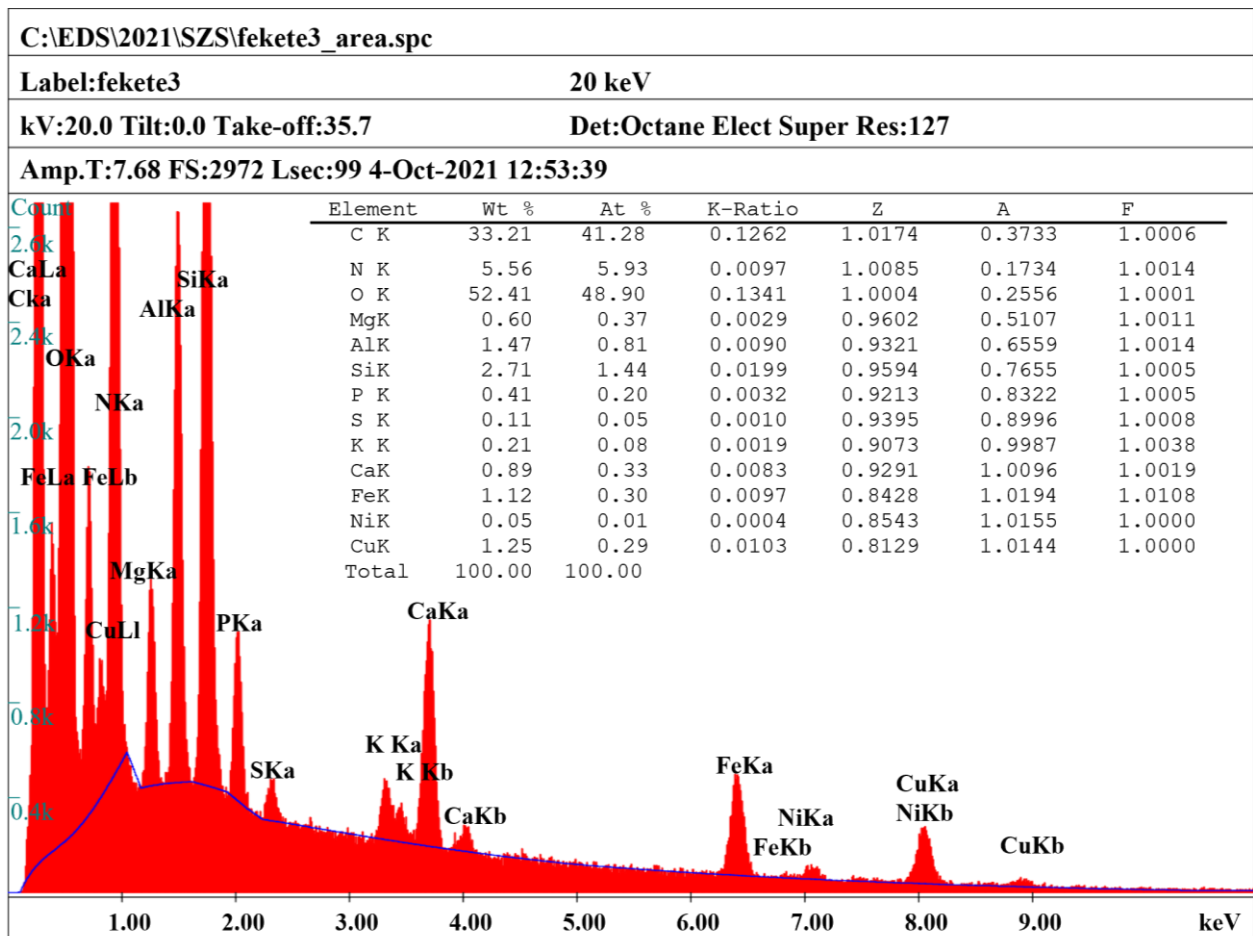
Appendix 1: Energy-dispersive X-ray spectrum and element composition (EDAX ZAF Quantification (Standardless) Element Normalized; Wt% weight percentage; At% atomic percentage) of the sample taken from a ceramic vessel (No. 45) of grave No. 1 at Sükösd–Árpás-dűlő V site



• doi:[10.55023/issn.1786-271X.2024-033.app1](https://doi.org/10.55023/issn.1786-271X.2024-033.app1)

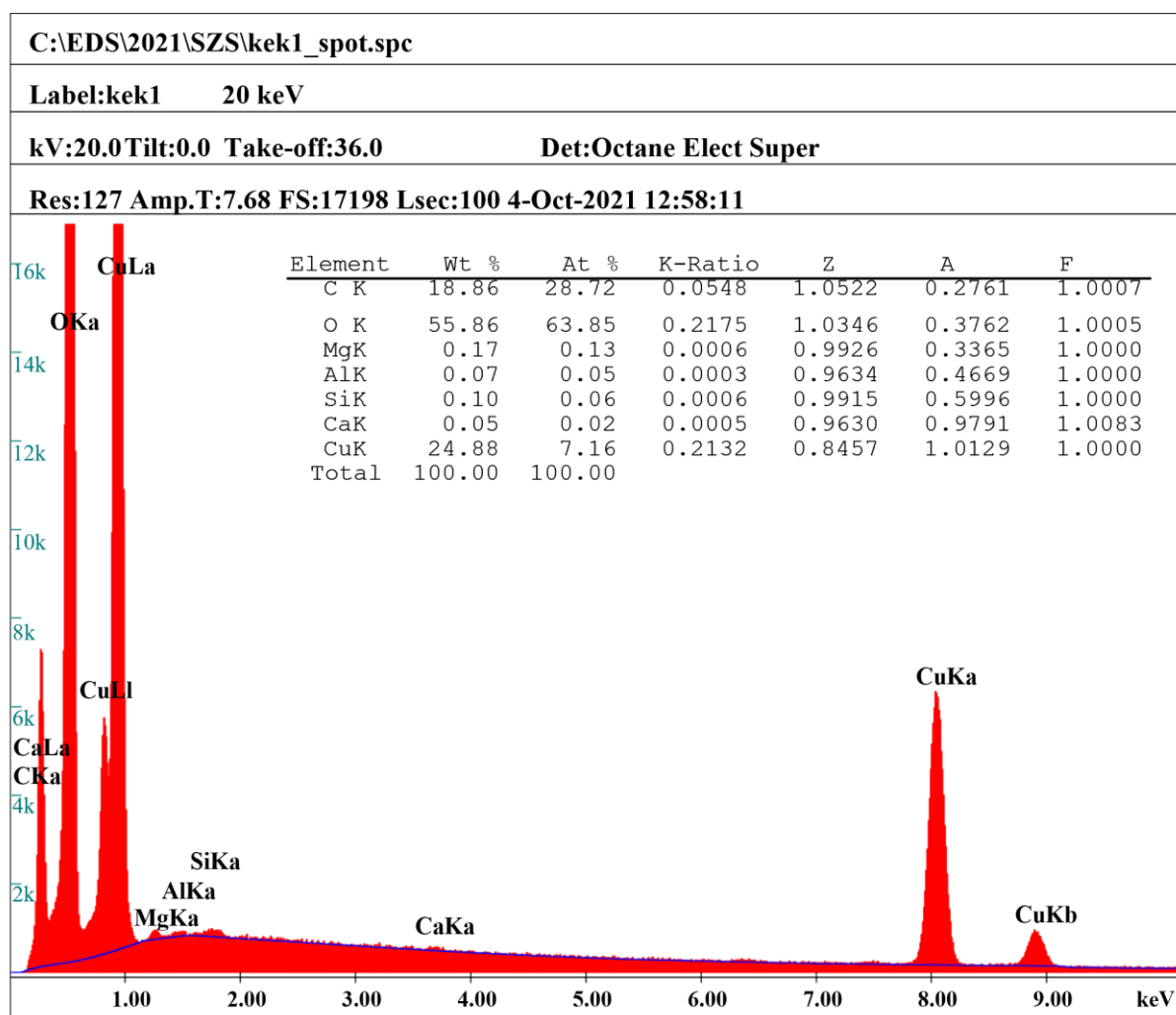
2. melléklet: Sükösd–Árpás-dűlő V. lelőhely 1. sír 37. melléklete, a jobb lábszártékercs alatti talajban talált, uralkodóan könnyű elemekben (P, N, S) gazdag szerves anyagból álló, talajásványokkal, valamint másodlagos rézásványokkal „szennyezett” sötétbarna-fekete szemcsék energiadisziperzív röntgenspektruma és elemi összetétele (standard nélküli EDAX ZAF korrekció; Wt% tömegszázalék; At% atomszázalék)

Appendix 2: Energy-dispersive X-ray spectrum and element composition (EDAX ZAF Quantification (Standardless) Element Normalized; Wt% weight percentage; At% atomic percentage) of the organic material-rich (composed of light elements: P, N, S), soil mineral and secondary copper mineral contaminated, dark brown-black grainy sample taken from under the right anklet (No. 37) of grave No. 1 of Sükösd–Árpás-dűlő V site



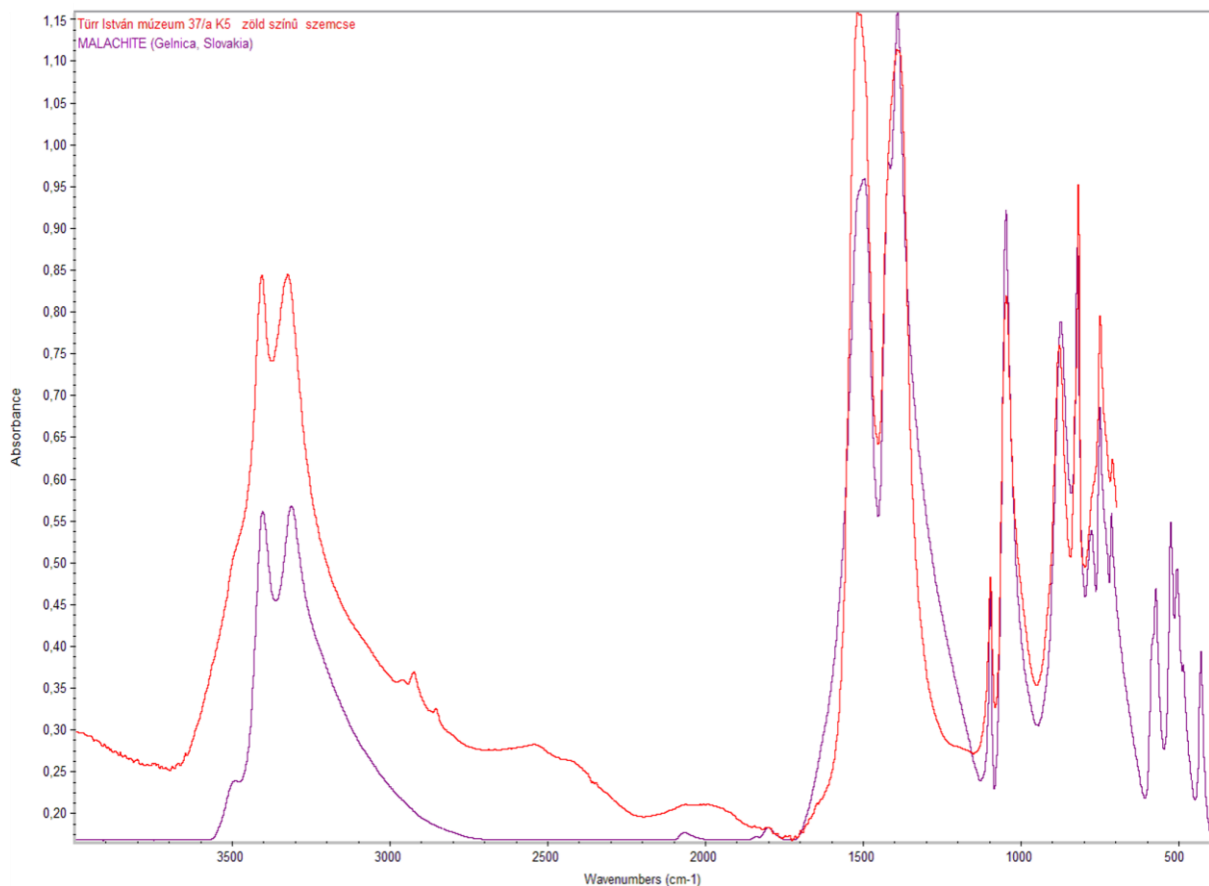
3. melléklet: Sükösd–Árpás-dűlő V. lelőhely 1. sír 37. melléklete, a jobb lábszártékercs alatti talajban talált kék színű, azurit $[\text{Cu}_3(\text{CO}_3)_2(\text{OH})_2]$ anyagú finomszemcsés halmazok energiadiszipatív röntgenspektruma és elemi összetétele (standard nélküli EDAX ZAF korrekció; Wt% tömegszázalék; At% atomszázalék)

Appendix 3: Energy-dispersive X-ray spectrum and element composition (EDAX ZAF Quantification (Standardless) Element Normalized; Wt% weight percentage; At% atomic percentage) of the blue, azurite-rich $[\text{Cu}_3(\text{CO}_3)_2(\text{OH})_2]$, fine-grained sample taken from under the right ankle (No. 37) of grave No. 1 of Sükösd–Árpás-dűlő V site



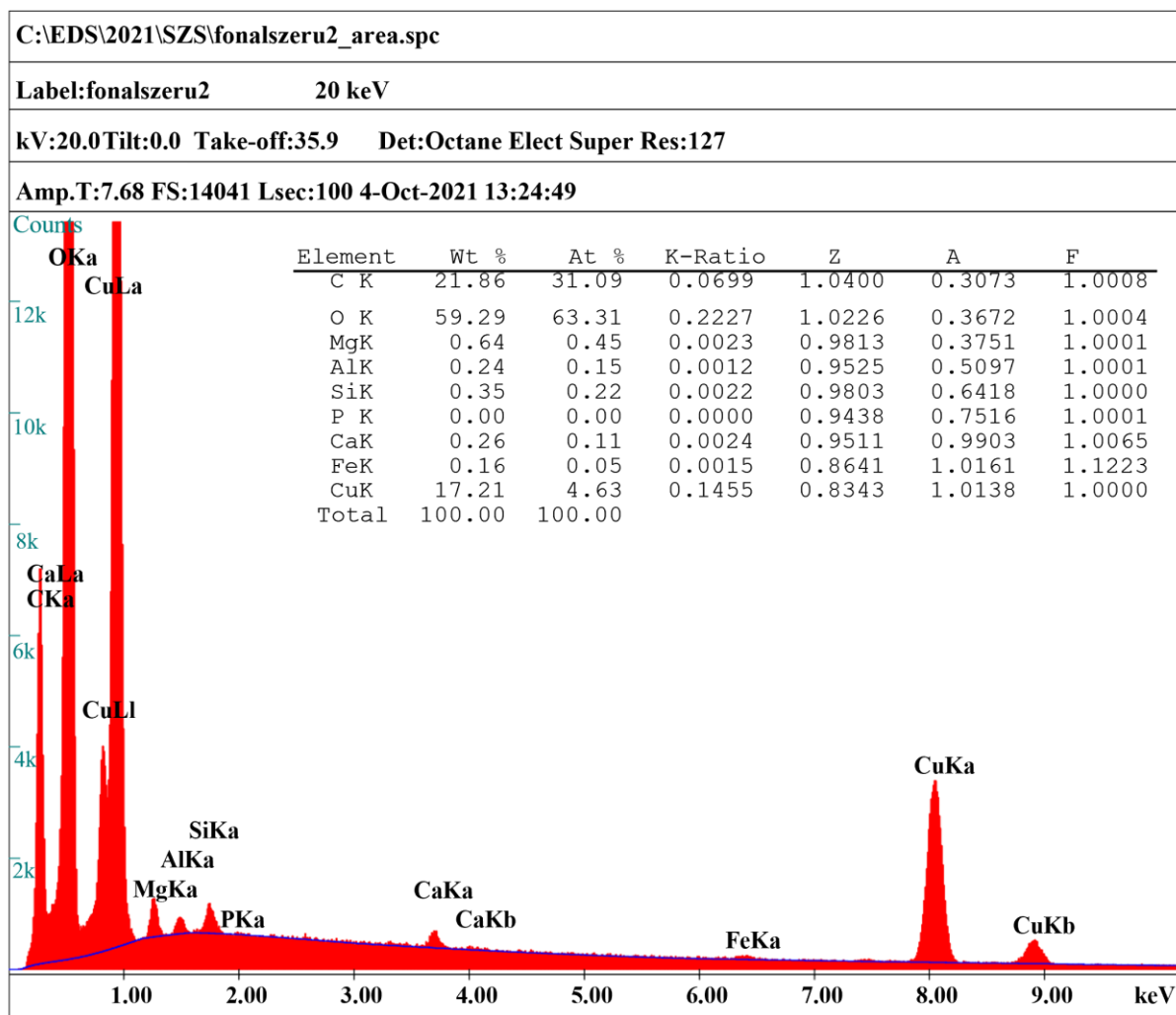
4. melléklet: Sükösd–Árpás-dűlő V. lelőhely 1. sír 37. melléklete, a jobb lábszártekeres alatti talajmintában talált, szálás szerkezetű, világoszöld színű kéve infravörös (FTIR) spektruma (piros színnel). Lila színnel egy ismert malachit minta (infravörös spektrum adatbázis) FTIR spektruma. Az infravörös elnyelési sávok helye, alakja és relatív intenzitása alapján a minta malachitként $[\text{Cu}_2(\text{OH})_2(\text{CO}_3)]$ azonosítható.

Appendix 4: FTIR spectrum (red line) of the light green colored, fibrous structure sheave taken from the soil sample from under the right anklet (No. 37) of grave No. 1 of Sükösd–Árpás-dűlő V site. For comparison, FTIR spectrum (purple line) of a known malachite sample (source: FTIR database). Based on the position, shape and relative intensity of the infrared bands, the sample can be identified as malachite $[\text{Cu}_2(\text{OH})_2(\text{CO}_3)]$.



5. melléklet: Sükösd–Árpás-dűlő V. lelőhely 1. sír 37. melléklete, a jobb lábszártékercs alatti talajban talált világoszöld színű, malachit $[Cu_2(OH)_2(CO_3)]$ anyagú, szálas szerkezetű kék energiadiszipatív röntgenspektruma és elemi összetétele (standard nélküli EDAX ZAF korrekció; Wt% tömegszázalék; At% atomszázalék)

Appendix 5: Energy-dispersive X-ray spectrum and element composition (EDAX ZAF Quantification (Standardless) Element Normalized; Wt% weight percentage; At% atomic percentage) of the light green colored, malachite-rich $[Cu_2(OH)_2(CO_3)]$, fibrous structure sheave taken from the soil sample from under the right ankle (No. 37) of grave No. 1 of Sükösd–Árpás-dűlő V site



6. melléklet: Sükösd–Árpás-dűlő V. lelőhely 1. sír 47. mellékletének, a tojás alakú kőtárgynak eredeti felszínén SEM-EDS-sel mért spinell összetétel adatai**Appendix 6:** Spinel composition data of the stone egg (No. 37) of grave No. 1 at Sükösd–Árpás-dűlő V site measured by original surface SEM-EDS

Mérési pont száma	sp45	sp46	sp 47	sp48	sp50	sp51	sp52	sp53	sp54	sp61	sp62	sp63
Mérési pont helyzete	kr.szegély?	kr.mag?	kr.szegély?	kr.mag?	kr.szegély?	hintés						
MgO	11.85	8.36	9.74	6.97	11.76	9.43	8.01	3.69	12.32	0.65	3.05	7.44
Al ₂ O ₃	30.19	2.39	28.28	5.07	29.82	0.38	0.5	0.26	0.42		0.56	1.76
SiO ₂		6.75	1.59	4.67	0.62	6.16	4.06	2.77	14	0.54	2.18	5.63
P ₂ O ₅		0.28	0.19									
SO ₃		0.19	0.14									0.23
K ₂ O		0.22	0.14	0.16								
CaO		0.49	0.39	0.24		0.08	0.26		0.2		0.14	
TiO ₂		0.66	0.19	0.82	0.21							
V ₂ O ₃			0.26		0.27							
Cr ₂ O ₃	34.29	33.37	34.81	34.5	34.13	0.4	0.19	0.91	0.49			
MnO		6.16		5.81		0.22				0.12	0.16	
Fe ₂ O ₃	23.67	40.01	23.87	40.52	23.18	83.32	86.98	92.37	72.57	98.69	93.9	84.94
ZnO		1.06	0.36	1.17								
Total	100	99.93	99.94	99.92	100	100	100	100	100	100	100	100
Kation számok 4 oxigénre számolva												
Si	0.000	0.238	0.050	0.164	0.019	0.220	0.148	0.105	0.479	0.021	0.084	0.204
Ti	0.000	0.018	0.004	0.022	0.005	0.000	0.000	0.000	0.000	0.000	0.000	0.000
Al	1.084	0.099	1.039	0.210	1.070	0.016	0.021	0.012	0.017	0.000	0.025	0.075
Cr	0.826	0.931	0.858	0.961	0.822	0.011	0.005	0.027	0.013	0.000	0.000	0.000
V	0.000	0.000	0.006	0.000	0.007	0.000	0.000	0.000	0.000	0.000	0.000	0.000
Fe ³⁺	0.109	0.456	0.034	0.455	0.080	1.536	1.685	1.749	1.003	1.957	1.807	1.514
Fe ²⁺	0.434	0.607	0.526	0.618	0.451	0.706	0.701	0.898	0.865	0.979	0.904	0.805
Mn	0.000	0.184	0.000	0.173	0.000	0.007	0.000	0.000	0.000	0.004	0.005	0.000
Mg	0.538	0.440	0.453	0.366	0.534	0.503	0.435	0.209	0.628	0.038	0.174	0.402
Zn	0.000	0.028	0.008	0.030	0.000	0.000	0.000	0.000	0.000	0.000	0.000	0.000
Total	2.991	3.001	2.978	3.001	2.987	2.998	2.996	3.001	3.005	3.000	3.000	3.001

